

LSB embedding

- Nosic $x = (x_1, \dots, x_n) \in \mathbb{Z}^n$
 - např. x_i : intenzita jasu i-teho pixelu
 - x_i : intenzita cervene slozky i-teho pixelu
 - index do palety v obrazku GIF
 - kvantizovaný DCT koeficient
- Stegoobjekt $y = (y_1, \dots, y_n) \in \mathbb{Z}^n$
- Zpráva $z = (z_1, \dots, z_m) \in \{0, 1\}^m$, kde $m \leq n$.
- Kluc $\pi \in S_n$
- Vkládání:

$$y_{\pi(i)} = x_{\pi(i)} - (x_{\pi(i)} \bmod 2) + z_i \quad \text{pro } i = 1, \dots, m.$$

$$y_{\pi(i)} = x_{\pi(i)} \quad \text{pro } i = m+1, \dots, n.$$
- Plati $|x_i - y_i| \leq 1 \quad \forall i$ (t_j providne nejmenší možnou změnu).
- LSB rovna nekomprimovanych obrazků vypada respektive nahodne kromi sumu pri súhrani obrazku. Vlození nahodné zprávy by tedy zde mohlo nemalo byt detekovatelné. Ve sluchotnosti existují mezi sousedními pixely vztahy které jsou tímto vkládáním namoženy.
- Plati $x_i \in \{2k, 2k+1\} \Leftrightarrow y_i \in \{2k, 2k+1\}$ čili 
- Tato vlastnost se projeví v histogramu.
- Definujeme $h(v) = \#\{i \mid x_i = v\}$ histogram nosice
 $h(v) = \#\{i \mid y_i = v\}$ histogram stegoobjektu
- Plati $h(2k) + h(2k+1) = h_o(2k) + h_o(2k+1)$.
- Označme $\alpha = \frac{m}{n}$ a předpokládejme, že vkládáme nahodnou zprávu, potom
 $P(y_i \neq x_i) = \alpha \cdot 1/2$
 - pravdepodobnost, že vložený bit se liší od původního LSB.
 - pravdepodobnost, že daný pixel obsahuje bit zprávy

$$P(y_i = x_i) = 1 - \alpha/2$$

$$E[h(2k)] = \left(1 - \frac{\alpha}{2}\right) h_0(2k) + \frac{\alpha}{2} h_0(2k+1) \quad (*)$$

$$E[h(2k+1)] = \frac{\alpha}{2} h_0(2k) + \left(1 - \frac{\alpha}{2}\right) h_0(2k+1)$$

Histogramový útok na uplynutí LSB embedding.

Testližce $\alpha=1$ pak pro všechno k

$$E[h(2k)] = E[h(2k+1)] = \frac{h_0(2k) + h_0(2k+1)}{2} = \frac{h(2k) + h(2k+1)}{2} =: \bar{h}(2k)$$

Cíli: $h(2k) \approx \bar{h}(2k)$.

Máme-li rozložení, zda $\alpha=1$ nebo $\alpha < 1$ testujeme hypotézu, že h má rozdělení \bar{h} :

$H_0: h \sim \bar{h}$ (nulová hypotéza) $\alpha=1$

$H_1: h \neq \bar{h}$ (alternativní hypotéza) $\alpha < 1$

- Použijeme Pearsonův χ^2 test souběžné statistiky S :

$$S = \sum_{k=0}^{d-1} \frac{(h(2k) - \bar{h}(2k))^2}{\bar{h}(2k)}$$

např. $d=128$
já myslím, že $d-1=128$

- Je zřejmé, že větší hodnota S indikuje $h \neq \bar{h}$ cíli: $\alpha < 1$, ale co znamená „větší hodnota“?

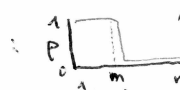
- Testližce $\bar{h}(2k) > 4 \forall k$ a platí $h \sim \bar{h}$, pak S má přibližně rozdělení χ^2_{d-1} s $d-1$ stupni volnosti.

- Hustota pravděpodobnosti rozdělení χ^2_{d-1} je $f_{\chi^2_{d-1}}(x) = \frac{e^{-x/2} \times \frac{d-1}{2}^{d-1-1}}{2^{\frac{d-1}{2}} \Gamma(\frac{d-1}{2})}$.

Cíli: $P = \int_S^\infty f_{\chi^2_{d-1}}(x) dx$ je pravděpodobnost, že S dosáhne takto vysoké (nebo vyšší) hodnoty za předpokladu $h \sim \bar{h}$.

Je-li $P \leq 0.05$ (např.) pak nulovou hypotézu zamítáme a filozofie, že „zamítáme H_0 (tj. $\alpha=1$) na hradině významnosti 0.05“.

Cíli: $(S \geq 154.3) P \leq 0.05 \Rightarrow \alpha < 1$ (pravděpodobnost, že zamítáme $\alpha=1$ až botivě)
 $(S < 154.3) P > 0.05 \Rightarrow \alpha = 1$ pravděpodobnost, že chybějící zamítáme hypotézu $\alpha=1$ je 5%.

- Známe-li π_i můžeme odhadnout hodnotu α . Budeme používat statistiku na $(x_{\pi(i)}, \dots, x_{\pi(n)})$ pro $i=1 \dots n$ a počítat hodnotu p : 

Kvantitativní útok na Jsteg

kvantitativní = určitné α

LSB³

- Jsteg vkládá zprávu do LSB DCT koeficientů obrázku JPEGu, s výjimkou koeficientů s hodnotami 0 a 1.
Vkládání do Ose tří projekt vizuálně.

- Vine, že DCT koeficienty v JPEGu mají symetrický histogram
 $h_o[i] \approx h_o[-i] \quad i=1,2,\dots$

proto platí

$$\sum_{k>0} h_o(2k) - \sum_{k<0} h_o(2k) - \sum_{k>0} h_o(2k+1) + \sum_{k<0} h_o(2k+1) \approx 0 \quad (F)$$

$\downarrow 1,3,5,\dots$ $\downarrow -1,-3,-5,\dots$

- Soustava lineárních rovnic (*) na st. LSB z můžeme přepsat:

$$h_o(2k) = a E[h(2k)] - b E[h(2k+1)]$$

$$h_o(2k+1) = -b E[h(2k)] + a E[h(2k+1)]$$

pro $k \neq 0$! protože do $\{0,1\}$ nevhod.

$$\text{kde } a = \frac{1-\alpha/2}{1-\alpha}, \quad b = \frac{\alpha/2}{1-\alpha}$$

- Provedeme approximaci $h(i) \approx E[h(i)]$ a dosadíme do (F).

$$\begin{aligned} & \sum_{k>0} a h(2k) - b h(2k+1) - \sum_{k<0} a h(2k) - b h(2k+1) \\ & - \underbrace{\sum_{k>0} -b h(2k) + a h(2k+1)}_{\text{POZOR } k=0 \text{ přesunuté}} + \underbrace{\sum_{k<0} -b h(2k) + a h(2k+1)}_{\text{do kof. 1 se}} \approx h_o(1) = h(1) \end{aligned}$$

$$(a+b) \sum_{k>0} h(2k) - h(2k+1) + (a+b) \sum_{k<0} h(2k+1) - h(2k) \approx h(1)$$

$$a+b = \frac{1}{1-\alpha}$$

- Vypočítejme α : $\alpha \approx 1 - \frac{\sum_{k>0} h(2k) - h(2k+1) + \sum_{k<0} h(2k+1) - h(2k)}{h(1)}$

α obvykle vychází s přesností ± 0.05

Sample pairs analysis (Analýza dvojic vzorků)

LSB 4

- Princip histogramového útoku:

funguje pro $\alpha=1$ vs $\alpha \neq 1$

Pro obecné α bychom potřebovali vědět více o tvaru histogramu nosiče: Problem je v tom, že histogramy nosičů jsou příliš někonečné na to, abychom mohli vypočítat nejhorší obecnou vlastnost.

- Podíváme se na páry sousedních pixelů.

U přirozeném obrázku očekáváme, že sousední pixely bude mít blízké hodnoty. Například:

$$\begin{array}{|c|c|} \hline 100 & 103 \\ \hline \end{array} \quad \text{vs.} \quad \begin{array}{|c|c|} \hline 101 & 102 \\ \hline \end{array}$$

$\Delta = 3$ $\Delta = 1$

méně častý výskyt častější výskyt

co se stane při LSB:

$$\begin{array}{ccc} \begin{array}{|c|c|} \hline 100 & 103 \\ \hline \end{array} & \xleftarrow{\Delta=3} & \begin{array}{|c|c|} \hline 101 & 103 \\ \hline \end{array} \\ \swarrow & & \searrow \\ \begin{array}{|c|c|} \hline 100 & 102 \\ \hline \end{array} & \xrightarrow{\Delta=1} & \begin{array}{|c|c|} \hline 101 & 102 \\ \hline \end{array} \end{array}$$

(Výskyt se vysází.)

Jde o podstatě o to, že histogram páru sousedních pixelů má předvídatelný tvar. Přesněji jde o to, že v nosiči by výskyt tyto čtyři páru neměly být nevyvážené.

- Obecně: Máme čtverice páru; jak vypadají jejich rozdíly?

	(z_i, z_j)	(z_i, z_{j+1})	(z_{i+1}, z_j)	(z_{i+1}, z_{j+1})	
$i < j$	$d \times$	$d+1 \gamma_1$	$d-1 \times$	$d \gamma_1$	$d = 2j - 2i$
$i > j$	$d \gamma_1$	$d-1 \times$	$d+1 \gamma_1$	$d \times$	$d = 2i - 2j$
$i = j$	0^2	$1 \gamma_2$	$1 \gamma_2$	0^2	BTW: nulaře vznikají pouze u z jednoho jednou u γ_2 , jednou u \times !!!

- Nechť P je množina všech páru sousedních pixelů.

$$X = \{(r, s) \in P \mid (r < s \wedge s \text{ sudé}) \vee (r > s \wedge s \text{ liché})\}$$

$$Y = \{(r, s) \in P \mid (r < s \wedge s \text{ liché}) \vee (r > s \wedge s \text{ sudé})\}$$

$$Z = \{(r, s) \in P \mid r = s\}$$

Pro nosič platí $|X| \approx |Y|$, protože jestli $r < s$ pak s může být sudé nebo liché s pravděpodobností 50:50.

Ve skutečnosti je Y o trochu větší než X , ale při dostatečném počtu barev (odstínů) můžeme zanedbat. Pro Y barev:

#typů páru \times je $\frac{n(n+1)}{2} - n$ a $\#Y$ je $\frac{n^2}{2}$. Většina nadbytečných páru v Y má malou pravděpodobnost výskytu.

X	γ_1	γ_2	Z
(0,2)	(0,3)	(0,1)	(0,0)
(1,2)	(1,3)	(1,0)	(1,1)
(2,1)	(2,0)	(2,3)	(2,2)
(3,1)	(3,0)	(3,2)	(3,3)

Mimočadem pro stejnoobjekt je $|Y| > |X|$ resp. $E[|X| - |Y|] < 0$.

L5B 5

Jde o to, že při vkládání se množiny X a Y_1 využít a množiny Y_2 a Z se využít.

Konkrétně pro $\alpha=1$ a res., jestli $|r-s| \geq 1$ pak opět pravděpodobnost, že s je sudé vs. liché je 50:50, ale jestli $|r-s|=1$ pak s je liché.

Definujeme $Y_1 := Y \setminus Y_2$

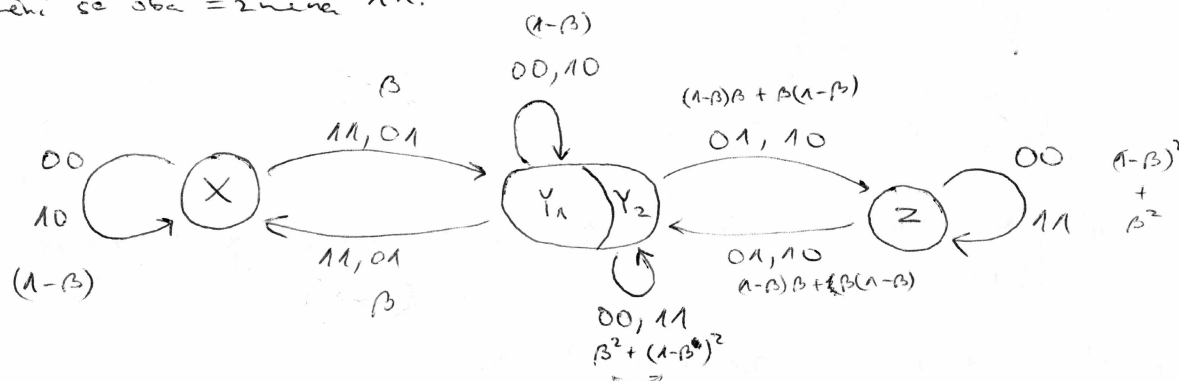
$$Y_2 := \{(r, s) \in P \mid r = 2k, s = 2k+1 \text{ nebo } r = 2k+1, s = 2k\}$$

Co se může stát s (r, s) při vkládání:

- 1) Nezmění se = zůstáva 00.
- 2) Změní se jen r = zůstáva 10.
- 3) Změní se jen s = zůstáva 01.
- 4) Změní se oba = zůstáva 11.

Pozn: Pro Y_2 a Z platí i=j

Pro X a Y_1 platí i=j



Označme B pravděpodobnost změny L5B při vkládání, tj:

$$\beta := \frac{\alpha}{2}$$

dále označme množiny, které vznikou vkládáním X', Y'_1, Y'_2, Z' .

$$|X'| \approx (1-\beta)|X| + \beta|Y_1|$$

$$\left. \begin{array}{l} |Y'_1| \approx (1-\beta)|Y_1| + \beta|X| \\ |Y'_2| \approx (1-2\beta+2\beta^2)|Y_2| + 2\beta(1-\beta)|Z| \\ |X| \approx |Y| = |Y_1| + |Y_2| \\ |Y_2| + |Z| = |Y'_2| + |Z'| \end{array} \right\} |X'| - |Y'_1| = (1-2\beta)(|X| - |Y_1|) \approx |Y'_2|$$

$$|Y'_1| \approx (1-\beta)|Y_1| + \beta|X|$$

$$|Y'_2| \approx (1-2\beta+2\beta^2)|Y_2| + 2\beta(1-\beta)|Z|$$

$$|X| \approx |Y| = |Y_1| + |Y_2|$$

$$|Y_2| + |Z| = |Y'_2| + |Z'|$$

$$|P| = |X'| + |Y'_1| + |Y'_2| + |Z'|$$

(Očekávané známe, nečekovaných)
se chce zbavit a získat β)

2 tedy rovnice dostaneme

$$2(|Y'_2| + |Z'|) \beta^2 + 2(2|X'| - |P|) \beta + |Y'| - |X'| = 0$$

$$\beta = \frac{1}{2} \left(1 - \frac{|X| - |Y_1|}{|Z'| + |Y'_2|} \pm \sqrt{\left(\frac{|X'| - |Y'_1|}{|Z'| + |Y'_2|} \right)^2 + \frac{|Z'| - |Y'_2|}{|Z'| + |Y'_2|}} \right)$$

(x obvykle vychází
s přesností ±0.05)

Očekáváme $|X'| \geq |Y_1|$ a $|Z'| \geq |Y'_2|$. V takovém případě je $\beta_- \leq 0.5$ a $\beta_+ \geq 0.5$.

Bereme tedy $Re(\beta_-)$. (Vkládáním hodně dat, tj. β blízko 0,5, může výraz pod odmocninou vyjít záporný. V takovém případě ho zanedbáme tím že vezmeme Re)

Modifikované Sample Pairs analysis

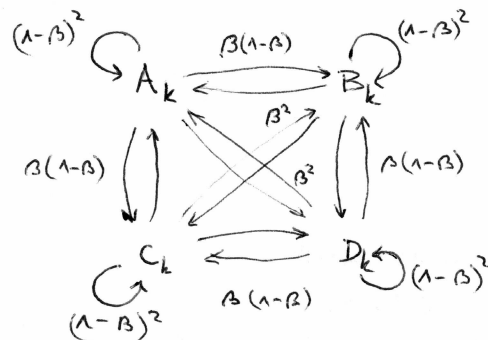
L SB 6

- Označme
 $A_k = \{(2i, 2j) \in P \mid i-j=k\}$
 $B_k = \{(2i, 2j+1) \in P \mid i-j=k\}$
 $C_k = \{(2i+1, 2j) \in P \mid i-j=k\}$
 $D_k = \{(2i+1, 2j+1) \in P \mid i-j=k\}$

Multimozing

Kde P je multimozina všech páru sousedících pixelů.

- Co se stane při vkládání:



Označme a'_k, b'_k, c'_k, d'_k velikosti multimozin A_k, B_k, C_k, D_k a a_k, b_k, c_k, d_k jejich velikosti po vkládání. Potom

$$\begin{pmatrix} a'_k \\ b'_k \\ c'_k \\ d'_k \end{pmatrix} \approx \begin{pmatrix} (1-B)^2 & B(1-B) & B(1-B) & B^2 \\ B(1-B) & (1-B)^2 & B^2 & B(1-B) \\ B(1-B) & B^2 & (1-B)^2 & B(1-B) \\ B^2 & B(1-B) & B(1-B) & (1-B)^2 \end{pmatrix} \begin{pmatrix} a_k \\ b_k \\ c_k \\ d_k \end{pmatrix}$$

$$\begin{pmatrix} a_k \\ b_k \\ c_k \\ d_k \end{pmatrix} \approx \frac{1}{1-2B} \begin{pmatrix} (1-B)^2 & -B(1-B) & -B(1-B) & B^2 \\ -B(1-B) & (1-B)^2 & B^2 & -B(1-B) \\ -B(1-B) & B^2 & (1-B)^2 & -B(1-B) \\ B^2 & -B(1-B) & -B(1-B) & (1-B)^2 \end{pmatrix} \begin{pmatrix} a'_k \\ b'_k \\ c'_k \\ d'_k \end{pmatrix}$$

$$B_k = \{(2i, 2j+1) \in P \mid i-j=k\} \text{ vzdálenost: } 2i-(2j+1) = 2k-1$$

$$C_{k-1} = \{(2i+1, 2j) \in P \mid i-j=k-1\} \text{ vzdálenost: } 2i+1-2j = 2(k-1)+1 = 2k-1$$

Odkáváme, že v nosici platí $|B_k| \approx |C_{k-1}|$ protože páry v obou trídách mají vzdálenost $2k-1$ a liší se pouze pozicemi. Parity by v nosici neměla mit vliv na četnost.

- Podívejme-li se na 2. a 3. řádky soustavy dostavíme pro každou k kvadratichou rovnici:

$$\frac{1}{1-2B} \left(B^2 (a'_k + b'_k + c'_k + d'_k) - B(a'_k + 2b'_k + d'_k) + b'_k \right) \approx b_k$$

$1-2B$ se odstraní a zůstane kvadratická rovnice

$$\frac{1}{1-2B} \left(B^2 (a'_{k-1} + b'_{k-1} + c'_{k-1} + d'_{k-1}) - B(a'_{k-1} + 2c'_{k-1} + d'_{k-1}) + c'_{k-1} \right) \approx c_{k-1}$$

Mimořádnu $|A_k| \approx |D_k|$ se vyplní nedá, pouze to implikuje že $|A'_k| \approx |D'_k|$ VB.

Jak pracovat s touto sadou kvadratických rovnic?

LSB7

- 1) Pro např. $i = -2, -1, 0, 1, 2$ najde kořeny kvadratické rovnice a z nich vyberu minimum.
- 2) Kvadratické rovnice sečtu pro všechna i sudeá nebo pro i lichá, dostanu jednu rovnici a ta vyřeším.
(Kdybych sečtl přes všechna i tak se mi průběžně počítají některé členy a ve výsledku dostanu lineární rovnici jejími řešením je $\beta = 0.5$.)
- 3) Nebudu vůbec řešit kvadratické rovnice tj. nebudu předpokládat $b_k = c_{k-1}$ ale zvolím β tak, aby b_k bylo co nejblíže c_{k-1} pro všechna k.

$$\hat{\beta} = \arg \min_{\beta} \sum_k (b_k - c_{k-1})^2$$

kde za b_k a c_{k-1} dosadíme výrazy obrazené dřívějším písmem.

Pokus s $\beta = 0.2$: Průměr odchylky $|\beta - \hat{\beta}|$ pro různé metody:

SPA: 0.0077 (1): 0.0466 (2): $L = -50 \dots 50$ sudeá: 0.0101 (3): $L = -50, \dots, 50$: 0.0056

Vkládání do paletových formátů

1) Změna uspořádání - palety

- + není vůbec záležitost od pohledu na obrázek
- oneznačnost $\log_2(2^{56}!) \approx 16846.7$ ≈ 210 bajtí
- většina programů uspořádá paletu podle jasu nebo frekvence výskytu dané barvy v obrázku \Rightarrow na hodně uspořádané palety je posetřitelné
- stejně tak a opětovné uložení obrázku může vést k setřídění palety a ke ztrátě správy.

2) Vkládání do matice ukazatelek

a) Paletu setřídíme podle jasu (a přeindexujeme matici ukazatelek).

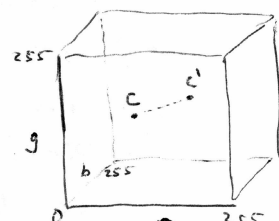
Potom provedeme LSB embedding na ukazatelech. (Erste Stufe)

- Problem: změna nejnižšího bitu sice nevlivní na zadání správných jasů pixelu ale může vést ke změně barvy např. červené na zelenou.

b) Zvolíme sofistikovanější uspořádání - palety, které minimalizuje rozdílnost mezi následujícími barvami v paletě.

po sobě

- Problem: NP-úplný (obchodní cestující).



c) Nebudeme vkládat do LSB

Ke každé barvě v paletě přiřadíme hodnotu 0 nebo 1 takovou způsobem, aby nejblíže barva v paletě měla odpovídající hodnotu.

Vkládání s optimální volbou parity

Pozn: Přiřazení parity nemusí být výnimočné

- Algoritmus \checkmark volby parity

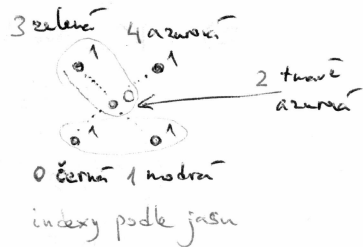
Vstup: Množina $\{c_i : i \in I\} \subseteq \{0, 1, \dots, 255\}^3$ (paleta), $I = \{0, 1, \dots, 255\}$ množina indexů podle jasu

Výstup: $p: I \rightarrow \{0, 1\}$,

$f: I \rightarrow I$ takové, že

$$p(i) = 1 - p(f(i)) \quad \forall i \in I$$

$\|c_i - c_{f(i)}\|_2$ nabývat minimální možnou hodnotu



Postup:

for each $i \in I$

$$p(i) := \infty$$

$$E := \{(\|c_i - c_j\|_2, c_i, c_j) : i, j \in I, i \neq j\}$$

Množina E lze uspořádat lexicograficky, tj. především podle

rozdílenosti barev a potom podle barev jasemto 3-složekých vektorů.

while $E \neq \emptyset$

$(d, c_i, c_j) := \min_{\text{lex}} E$ # $p(i) = \infty$. Jakmile $p(i) \in \{0, 1\}$, barva c_i se odstraní
ze všech výsledků na druhé pozici.

if $p(j) = \infty$ # ~~jedná se o prázdnou množinu~~ $p(j) = \infty$

$$p(i) := 0$$

$$p(j) := 1$$

$$f(i) := j$$

$$f(j) := i$$

else $E := E \setminus (R \times \{i, j\} \times C)$ odstraní všechny (\cdot, c_i, \cdot) a (\cdot, c_j, \cdot)

$$p(i) := 1 - p(j)$$

$$f(i) := j$$

$E := E \setminus (R \times \{i\} \times C)$ odstraní všechny (\cdot, c_i, \cdot)

end if

done

- Algoritmus je deterministický a závisí jen na množině barev v paletě (nikoliv na jejím uspořádání)

- Dohledně: množina E se při každém přechodu změní.

- Funkce $p \circ f$ jsou dobré definované

$$\circ \text{ Zřejmě platí } p(i) = 1 - p(f(i)) \quad \forall i \in I$$

- $\|c_i - c_{f(i)}\|_2$ nabývat min možnou hodnotu.

$$(p(i) = \infty \Leftrightarrow (\cdot, c_i, \cdot) \in E)$$

• Algoritmus vkládání - s optimální volbou parity

Vstup: Nositel $x = (x_1, \dots, x_n) \in I^n$ posloupnost indexů do palety.
 Zpráva $z = (z_1, \dots, z_m) \in \{0,1\}^m$

Klíč $\pi \in S_n$

Výstup: Stegoobjekt $y = (y_1, \dots, y_n) \in I^n$

Postup: for each $i \in \{1, 2, \dots, m\}$

$$y_{\pi(i)} = \begin{cases} x_{\pi(i)} & \text{pokud } p(x_{\pi(i)}) = z_i \\ f(x_{\pi(i)}) & \text{pokud } p(x_{\pi(i)}) \neq z_i \end{cases}$$

for each $i \in \{m+1, \dots, n\}$

$$y_{\pi(i)} = x_{\pi(i)}$$

• Algoritmus extrakce

Vstup: Stegoobjekt $y = (y_1, \dots, y_n) \in I^n$

Klíč $\pi \in S_n$

Délka zprávy m

Výstup: Zpráva $z = (z_1, \dots, z_m) \in \{0,1\}^m$

Postup: for each $i \in \{1, \dots, m\}$

$$z_i = p(y_{\pi(i)})$$

• Efektivita vkládání: $e = \frac{\mathbb{E}[\log_2 |M(x)|]}{\mathbb{E}[d_2(x, y)]} = \frac{m}{\mathbb{E}[d_2(x, y)]}$

definice $h(i) := \#\{j \mid x_j = i\}$

$$\mathbb{E}[d_2(x, y)] = \sum_{j=1}^n \mathbb{E}[\|c_{x_j} - c_{y_j}\|^2] = \sum_{j=1}^n \underbrace{\frac{1}{2}m}_{\text{pravděpodobnost, že } j-\text{ty pixel bude změněn.}} \underbrace{\sum_{i \in I} \frac{h(i)}{n} \|c_i - c_{f(i)}\|^2}_{\text{odchivení velikost značky}}$$

$$= \frac{m}{2} \sum_{i \in I} \underbrace{\frac{h(i)}{n} \|c_i - c_{f(i)}\|^2}_{\substack{\text{relativní četnost} \\ \text{barvy} i v obrazku}} \underbrace{k \cdot \frac{h(i)}{n} \|c_i - c_{f(i)}\|^2}_{\substack{\text{vzdálenost} \\ \text{k najbližší barvě}}}$$

efektivita	# barev
barengif	255
optpar	0.0228
lumLSB	0.0019

$$\text{efektivita } e = \frac{2}{\sum_{i \in I} \frac{h(i)}{n} \|c_i - c_{f(i)}\|^2}$$

12x 4x

Vkládání při redukci hlawby barev s optimální volbou parity

LSPB 10

Verzmenme jeho nosis 24-bitový rastrový obrazek a provedeme redukci hlawby barev s difuzní chybou, ovšem s tím rozdílem, že při zadávání barvy na nejbližší barvu se u pixelů nesoucích bit zprávy omezíme na možnosti barev jejichž parity odpovídají bitu zprávy.

Adaptivní vkládání

- Nechte vkládat bity zprávy do oblastí uniformní barev jeho např. nebo nebo přesnějších oblastí. Chceme vkládat do oblasti s vysokou texturou.
- Problem: Príjemce nemá k dispozici nosis, aby určil co je oblast s vysokou či nízkou texturou. (vkládání může texturu snížit)
- Příklad: - Obrazek rozdělime na bloky velikosti 3×3 a definujeme funkci tj. která málo textury bloku, např.
 $t(B) = \# \text{ barev v } B$.
- Po daném bloku vkládáme pravě hodně jeho textury $t(B) > p$, kde p je nejrahodnější vložení prahová hodnota.
- Poté co provedeme vkládání do bloku, musíme textury znížit znova. Stane-li se, že textura leží pod prahovou hodnotou, bude tento blok príjemcem ignorován. Bity proto musíme uložit znova do následujícího bloku. Tímto se snižuje efektivita vkládání.

Barevný gif: $\gamma = 2$... 53% pixelů použito
 $\gamma = 3$... 26% pixelů použito

Párová analýza paletových formátů

Kvantitativní útok na Ez Stego

Ez Stego:

Máme paletový obrazek, paleta je seřízena podle jasu.

Nosič: $x \in \{0, 1, \dots, 255\}^n$ indexy do palety

$\beta = \frac{1}{2}$ pravděpodobnost změny

Stegoobjekt $y \in \{0, 1, \dots, 255\}^n$

Zpravidla sloužíme do LSB, cíl: opět $\dots \leftarrow 2k, 2k+1, 2k+2, 2k+3, \dots$

Očekáváme, že v přirozeném nosiči se objeví postupnosti stejně barvy. Tato vlastnost je vkládáním namuščena.

Definice

k-tý barevný úřez $\varphi_k(c) := \begin{cases} 0 & \text{pro } c=2k \\ 1 & \text{pro } c=2k+1 \\ ? & \text{pro ostatní } c \end{cases}$
↑prázdné slovo.

k-tý posunutý barevný úřez $\varphi'_k(c) := \begin{cases} 0 & \text{pro } c=2k-1 \\ 1 & \text{pro } c=2k \\ ? & \text{pro ostatní } c \end{cases}$

přirozeným způsobem rozšíříme na slova (postupnosti) jako homomorfismus monoidu.

$z := \varphi_0(y) \parallel \varphi_1(y) \parallel \dots \parallel \varphi_{n-1}(y)$

$z' := \varphi'_0(y) \parallel \varphi'_1(y) \parallel \dots \parallel \varphi'_{n-1}(y)$

$R(\beta) = \frac{\#\{i \mid z_i = z_{i+1}, 1 \leq i \leq n-1\}}{n-1}$

Relativní počet homogeních páru u z.

$R'(β)$ obdobně

$$\underline{P}\underline{F} \quad y = \begin{array}{cccccc} \overset{p_0}{\overset{\uparrow}{0}} & \overset{\overset{\wedge}{\wedge}}{\overset{\uparrow}{1}} & \overset{\overset{\wedge}{\wedge}}{\overset{\uparrow}{2}} & \overset{\overset{\wedge}{\wedge}}{\overset{\uparrow}{3}} & \overset{\overset{\wedge}{\wedge}}{\overset{\uparrow}{1}} & \overset{\overset{\wedge}{\wedge}}{\overset{\uparrow}{2}} & \overset{\overset{\wedge}{\wedge}}{\overset{\uparrow}{2}} \\ p_1: & \overset{\downarrow}{0} & \overset{\downarrow}{1} & \overset{\downarrow}{2} & \overset{\downarrow}{3} & \overset{\downarrow}{1} & \overset{\downarrow}{2} & \overset{\downarrow}{2} \end{array} \quad \Rightarrow z = \underline{\underline{0}} \underline{\underline{1}} \underline{\underline{1}} \underline{\underline{0}} \underline{\underline{1}} \underline{\underline{0}} \quad R(\beta) = \frac{3}{7}$$

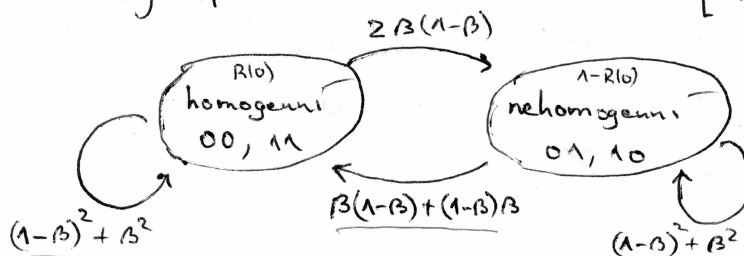
$$\begin{array}{c} \overset{\overset{\wedge}{\wedge}}{\overset{\uparrow}{0}} \overset{\overset{\wedge}{\wedge}}{\overset{\uparrow}{1}} \overset{\overset{\wedge}{\wedge}}{\overset{\uparrow}{2}} \overset{\overset{\wedge}{\wedge}}{\overset{\uparrow}{3}} \overset{\overset{\wedge}{\wedge}}{\overset{\uparrow}{1}} \overset{\overset{\wedge}{\wedge}}{\overset{\uparrow}{2}} \overset{\overset{\wedge}{\wedge}}{\overset{\uparrow}{2}} \\ \varphi'_1: \quad \downarrow \downarrow \downarrow \downarrow \downarrow \downarrow \downarrow \end{array} \quad \Rightarrow z' = \underline{\underline{0}} \underline{\underline{0}} \underline{\underline{1}} \underline{\underline{0}} \underline{\underline{1}} \underline{\underline{1}} \quad R'(\beta) = \frac{2}{5}$$

- V nosiči očekáváme, že počty homogeních páru u neposunutých a posunutých úřezech budou stejné: $\boxed{R(0) = R'(0)} \quad (E[R(0) - R'(0)] = 0)$

- R je kvadratická funkce:

co se deje při vkládání:

$$E[R(\beta)] = R(0) \left((1-\beta)^2 + \beta^2 \right) + (1-R(0)) 2\beta(1-\beta)$$



$R(0)$ je konstanta pro první zdrožený nosič a $R(\beta)$ je tedy kvadratický polynom v proměnné β .

$$\boxed{E[R(\beta)] = E[R(1-\beta)]}$$

$R'(1-\beta)$

zjistíme tak, že ve stegobjektu y obráťme všechny LSB, spočítané posunuté užíveky a určíme počet homogenních párů.

Proč to funguje:

máme $y = 01\boxed{1}2\boxed{3}\boxed{1}22$, dejme tomu, že $\beta = \frac{3}{8}$ a

y vzniklo překlopením tří LSB, takže

$$x = \underline{\underline{010220}}\underline{\underline{22}}$$

nytí simulujme $\beta = \frac{5}{8}$ co by se stalo kdyby $\beta = \frac{5}{8}$

$$\bar{y} = \underline{\underline{100320}}\underline{\underline{33}} \quad R'(1-\beta) = \frac{0}{1} = 0$$

Nevrávne sice β ani pořadí, kde došlo k překlopení, ale překlopení všech hodnot simulujeme vztahem s parametrem $1-\beta$.

 $R(\frac{1}{2}) \approx \frac{1}{2}$

Pro $\beta = \frac{1}{2}$ tvoří LSB výhodnou posloupnost.

Z je vlastně posloupnost LSB akorát trochu prevernutou.

$P(z_i = z_{i+1}) = \frac{1}{2}$ pro libovolné i , $1 \leq i \leq n-1$.

$R(\frac{1}{2}) = \frac{1}{2(n-1)}$ očekávaný počet homogenních párů.

 $R(\frac{1}{2}) = ?$

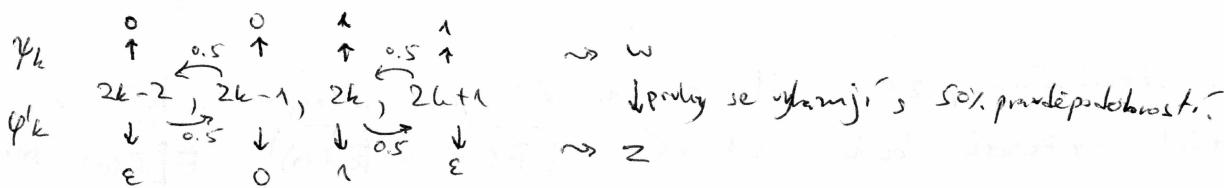
Definujeme: $\psi_k(x) = \begin{cases} 0 & \text{pro } c \in \{2k-2, 2k-1\} \\ 1 & \text{pro } c \in \{2k, 2k+1\} \\ \epsilon & \text{pro ostatní } c \end{cases}$

Porovnání:

$$\psi_k(x) = \psi_k(y)$$

$$W := \psi_1(y) \parallel \psi_2(y) \parallel \dots \parallel \psi_{n-1}(y)$$

Je-li $\beta = \frac{1}{2}$, pak Z vznikne z W tak, že každý člen posloupnosti w bude vyhodíme nebo zachováme s pravděpodobností 50%.



Až $W = \dots w_i, \dots$ with \dots jestliže $w_i = w_{i+1}$, pak pravděpodobnost, že v Z utvoří homogenní páru je $(\frac{1}{2})^{k+1}$ tj. $\frac{1}{2}$ že w_i se zachová $\frac{1}{2}$ že se zachová a $(\frac{1}{2})^{k+1}$ že ty následní vypadnou.

$\sum_{k=1}^{n-1} \frac{1}{2^{k+1}} \# \{i \mid w_i = w_{i+k}, 1 \leq i \leq n-k\}$ kde naje délka W.

Očekávaný počet homogenních párů v Z

Očekávaná délka Z je $\frac{n}{2}$.

$$R'(1/2) = \frac{1}{\frac{n_w}{2}-1} \sum_{h=1}^{\frac{n_w}{2}} \frac{1}{2^{h+1}} \# \{ i \mid w_i = w_{i+h}, 1 \leq i \leq n_w - h \}$$

LSB 13

hde w je řada w .

- Praxe učaruje, že $R'(\beta)$ lze dobře modelovat kvadratickým polynomem. (Dále ovšem nemáme.)

Předpokládajme tedy, že $f(\beta) := R(\beta) - R'(\beta)$ je kvadratický.

$$\text{Známe } f(0) = R(0) - R'(0) \approx 0.$$

$$f(1/2) = R(1/2) - R'(1/2) \approx 1/2 - R'(1/2)$$

$$f(\beta) = R(\beta) - R'(\beta)$$

$$f(1-\beta) = R(1-\beta) - R'(1-\beta) = R(\beta) - R'(\beta)$$

... technicky postup ...

Polynom máme ve dvou bodech \Rightarrow
redundance?

Nikoliv, větší body
jsou totiž závislé
na menší β .

Odtud dostaneme kvadratickou rovnici $a\beta^2 + b\beta + c = 0$, kde

$$a = 2 - 4R'(1/2)$$

Γ (pozor, tato není f)

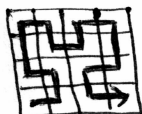
$$b = R'(\beta) - R'(1-\beta) - 2 + 4R'(1/2)$$

$$c = R(\beta) - R'(\beta)$$

Specitáme $\hat{\beta} = \min(R(\beta_+), R(\beta_-))$. (Pro $\beta \approx 0.5$ můžou vystihnout konvergenci.)

- Pozn obrázek může moci být  anebo po Hilbertově

krivce:



Tímto se zvyšuje pravděpodobnost, že záhy bude

uniformní oblast obrazku v posloupnosti

- Pozn Odhad opět vychází ± 0.05

Útok na vkládání s optimálním přiřazením parity

Idea: • 2 histogramu stegeobrazem zrekonstruujeme histogram nosící pro různé hodnoty α .

- Jestliže α zvolíme větší než je jeho skutečná hodnota objeví se v zrekonstruovaném histogramu zapárate hodnoty.
- Předpokládáme, že barvy v histogramu reagují různovým rozdělením.

Př.

Vkládání: ③ →

$$h(1) = (1-\beta) h_0(1)$$

$$h(2) = (1-\beta) h_0(2) + \beta \cdot h_0(1)$$

$$h(3) = (1-\beta) h_0(3)$$

$$h(4) = (1-\beta) h_0(4) + \beta(h_0(2) + h_0(3))$$

$$h_0(1) = 1000$$

$$h_0(2) = 10$$

$$\alpha = 0,2$$

$$\beta = 0,1 = \frac{1}{2} \quad (\text{pst. znamy})$$

$$h(1) \approx 900$$

$$h(2) \approx 9 + 100 = 109$$

;

Rekonstrukce:

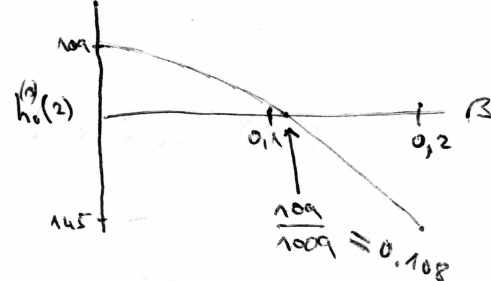
$$h_0^{(1)}(1) = \frac{1}{1-\beta} h(1)$$

$$h_0^{(1)}(2) = \frac{1}{1-\beta} (h(2) - \beta \cdot h_0^{(1)}(1))$$

$$= \frac{1}{1-\beta} (h(2) - \frac{\beta}{1-\beta} h(1)) \quad \leftarrow$$

$$h_0^{(1)}(3) = \dots$$

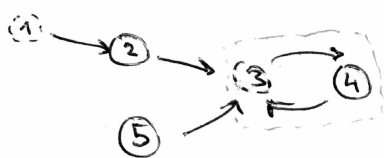
$$h_0^{(1)}(2) \approx \frac{1}{1-\beta} \left(109 - \frac{\beta}{1-\beta} 900 \right)$$



Změny v histogramu při vkládání lze popsat maticově:

Definujeme $A = (a_{ij}) \in \mathbb{R}^{101 \times 101}$

$$a_{ij} = \begin{cases} 1 & \text{pokud } f(j)=i \\ 0 & \text{jinak} \end{cases}$$

Př.

$$A = \begin{pmatrix} 0 & 0 & 0 & 0 & 0 \\ 1 & 0 & 0 & 0 & 0 \\ 0 & 1 & 0 & 1 & 1 \\ 0 & 0 & 1 & 0 & 0 \\ 0 & 0 & 0 & 0 & 0 \end{pmatrix}$$

Vkládání

$$\tilde{h} = \begin{pmatrix} h(1) \\ \vdots \\ h(101) \end{pmatrix} \quad \xrightarrow{\text{Vkládání}} \quad \tilde{h}_0 = \begin{pmatrix} h_0(1) \\ \vdots \\ h_0(101) \end{pmatrix}$$

M = 101x101

$$\tilde{h} = (\beta \cdot A + (1-\beta) I) \tilde{h}_0$$

Rekonstrukce

$$\hat{h}^{(\beta)} = (\beta \cdot A + (1-\beta) I)^{-1} h$$

Útok

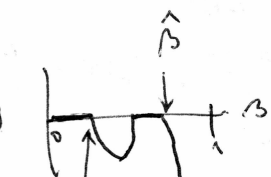
$\forall \beta \in [0,1]$ zrekonstruované histogramy h_β a definiace

$$y(\beta) = \min_{\hat{h}} h_\beta(\cdot)$$

Za $\hat{\beta}$ zvolíme ~~luk~~ maximální hodnotu pro interval $y(\beta)$ méně než nula v intervalu ~~[0,1]~~ $[0,1_h]$.

Potom $\hat{\beta}$ je horní odhad pravděpodobnosti změny.
 $(\hat{\alpha} = 2\hat{\beta})$.

Pozn: $y(\beta)$ může mít trvač

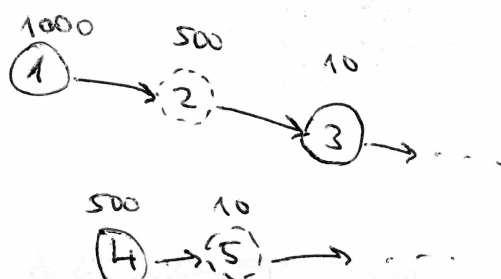


Alternativní volba $\hat{\beta}$.

(Naše volba $\hat{\beta}$ je maximální korem je v souladu s myšlenkou, se se jedná o horní odhad β .)

Smyšlení volby maximální hodnoty je ignorovat případnou parabolu, protože to se chová dřív.

Viz Mathematica:



Toto není důvod pro to pro všechny α selhávat



Funguje dobré pro $\alpha < 0.5$

Když vypočítame jistoty v jistech, pak funguje dobré pro $\alpha > 0.5$